

Разработка речевого кодека ACELP 24 кбит/с для
промышленной радиосвязи
с адаптацией под восточнославянские языки

Электротехника, Электроника и Микропроцессорная техника

3 июля 2025 г.

Оглавление

Введение	2
1 Анализ требований и лингвистические особенности	3
1.1 Технические требования	3
1.2 Фонетические особенности восточнославянских языков	3
1.2.1 Ключевые характеристики	3
1.2.2 Влияние на параметры кодека	3
2 Математические основы	4
2.1 Линейное предсказание	4
2.2 Преобразование в LSP	4
2.3 Квантование LSP	4
2.4 Алгебраическая кодовая книга	4
2.4.1 Структура возбуждения	4
2.4.2 Битовое распределение	5
2.5 PLC алгоритм	5
2.5.1 Экстраполяция параметров	5
2.5.2 Классификация сигнала	5
3 Архитектура кодека	6
3.1 Распределение бит	6
3.1.1 Детализация параметров	6
3.1.2 Итоговое распределение бит	8
3.2 Блок-схема кодера	9
3.3 Блок-схема декодера	10
4 Механизмы устойчивости к потерям	11
4.1 Алгоритм PLC	11
4.2 Плавное затухание	11
5 Реализация и оптимизация	12
5.1 Вычислительная сложность	12
5.2 Оптимизации	12
5.3 Тестирование	12
Заключение	13

Введение

Данный документ описывает разработку специализированного речевого кодека на базе алгоритма ACELP (Algebraic Code Excited Linear Prediction) с битрейтом 24 кбит/с. Кодек предназначен для промышленных систем радиосвязи в сложных условиях эксплуатации (город, промышленные объекты, пересечённая сельская местность или поле, лес) и оптимизирован для восточнославянских языков (русский, украинский, белорусский). Особое внимание уделено устойчивости к потерям кадров и устранению артефактов декодирования.

Глава 1

Анализ требований и лингвистические особенности

1.1 Технические требования

- Битрейт: 24 кбит/с ($\pm 5\%$)
- Частота дискретизации: 8/16/24/32/48 кГц (основная – 16 кГц)
- Разрядность аудио: 16 бит
- Задержка кодирования: ≤ 60 мс
- Отсутствие фиксированных кодовых книг (для работы кодека не должна требоваться предварительно подготовленная на образцах речи кодовая книга)
- Отсутствие встроенного блока помехоустойчивого кодирования (осуществляется модемом)
- Устойчивость к потере ≥ 3 последовательных кадров (при потерях кадров не должно возникать вызывающих дискомфорт артефактов декодирования)

1.2 Фонетические особенности восточнославянских языков

1.2.1 Ключевые характеристики

$$\text{Палатализация:} \quad F_{\max}^{(j)} = \max_{f \in [1500, 4000]} |S(f)| \quad (1.1)$$

$$\text{Редукция гласных:} \quad \Delta E_{\text{vow}} = 10 \log_{10} \left(\frac{E_{\text{stress}}}{E_{\text{unstress}}} \right) \quad \approx 8 - 12 \text{ дБ} \quad (1.2)$$

$$\text{Аффрикаты:} \quad \tau_{\text{affricate}} = \tau_{\text{stop}} + \delta t + \tau_{\text{fricative}}, \quad \delta t \in [20, 40] \text{ мс} \quad (1.3)$$

1.2.2 Влияние на параметры кодека

Таблица 1.1: Адаптация параметров к фонетическим особенностям

Фонетическая особенность	Адаптация параметров кодека	Оптимальное значение
Палатализация (мягкие согласные)	Усиленное квантование LSP в области 2...4 кГц	LSP3...10: 7 бит
Редукция гласных	Увеличенная длина кадра для стационарных участков	30 мс
Сонорные согласные (/p/, /л/)	Специальная обработка в PLC	$\alpha_{\text{son}} = 0.5$
Шипящие/свистящие	Усиленный перцептивный вес в высоких частотах	$\gamma_2 = 0.6$
Аффрикаты	Уменьшенный размер подкадра для транзиентов	10 мс

Глава 2

Математические основы

2.1 Линейное предсказание

Уравнение линейного предсказания 16-го порядка:

$$s(n) = \sum_{k=1}^{16} a_k s(n-k) + e(n) \quad (2.1)$$

$$E_{\text{LPC}} = \sum_{n=0}^{N-1} \left[s(n) - \sum_{k=1}^p a_k s(n-k) \right]^2 \quad (2.2)$$

где a_k – коэффициенты ЛП, $e(n)$ – остаточный сигнал.

2.2 Преобразование в LSP

$$P(z) = A(z) + z^{-(p+1)} A(z^{-1}) \quad (2.3)$$

$$Q(z) = A(z) - z^{-(p+1)} A(z^{-1}) \quad (2.4)$$

Корни многочленов $P(z)$ и $Q(z)$ дают частоты LSP.

2.3 Квантование LSP

Используется предсказательное многоступенчатое векторное квантование (P-MSVQ):

$$\hat{\omega}_i = \bar{\omega}_i + \sum_{k=1}^M c_{i,k} \cdot q_k \quad (2.5)$$

где $\bar{\omega}_i$ – среднее значение, $c_{i,k}$ – коэффициенты предсказания, q_k – квантованные ошибки предсказания.

2.4 Алгебраическая кодовая книга

2.4.1 Структура возбуждения

$$e(n) = \sum_{k=1}^5 g_k \delta(n - m_k) \cdot s_k \quad (2.6)$$

где g_k – усиления, m_k – позиции, s_k – знаки импульсов.

2.4.2 Битовое распределение

Таблица 2.1: Распределение 35 бит на подкадр

Параметр	Биты	Диапазон
Позиции 4 импульсов (совместное кодирование)	22	0...4,194,303
Знаки 4 импульсов	4	0...15
Позиция 5-го импульса	8	0...255
Знак 5-го импульса	1	0...1

2.5 PLC алгоритм

2.5.1 Экстраполяция параметров

$$\hat{F}_0^{(n)} = \alpha F_0^{(n-1)} + (1 - \alpha) F_0^{(n-2)} \quad (2.7)$$

$$\mathbf{L}\hat{\mathbf{S}}\mathbf{P}^{(n)} = \beta \mathbf{L}\mathbf{S}\mathbf{P}^{(n-1)} + (1 - \beta) \mathbf{L}\mathbf{S}\mathbf{P}^{(n-2)} \quad (2.8)$$

$$E^{(n)} = \gamma E^{(n-1)}, \quad \gamma = 0.92 \quad (2.9)$$

2.5.2 Классификация сигнала

$$S = \frac{1}{T} \int_{t-T}^t \left(w_E \frac{|dE/dt|}{E} + w_F \frac{|dF_0/dt|}{F_0} + w_{\mathbf{L}\mathbf{S}\mathbf{P}} \|d\mathbf{L}\mathbf{S}\mathbf{P}/dt\| \right) dt \quad (2.10)$$

где w_E , w_F , $w_{\mathbf{L}\mathbf{S}\mathbf{P}}$ – весовые коэффициенты.

Глава 3

Архитектура кодека

3.1 Распределение бит

Таблица 3.1: Распределение бит на кадр (720 бит)

Параметр	Биты	Описание
LSP (P-MSVQ)	54	Линейные спектральные пары
Запаздывание pitch (3×9 бит)	27	Период основного тона
Усиление pitch (3×16 бит)	48	Коэффициент долгосрочного прогноза
Индексы FCB (3×158 бит)	474	Алгебраическая кодовая книга
Усиление FCB (3×4 бит)	12	Коэффициент возбуждения
Параметры стабильности	105	Флаги для PLC
Итого	720	Суммарная длина кадра

3.1.1 Детализация параметров

Линейные спектральные пары (LSP) – 54 бит

Таблица 3.2: Линейные спектральные пары

Этап	Биты	Диапазон
Первый	18	ω_{1-4}
Второй	18	ω_{5-8}
Третий	18	ω_{9-16}
Итого	54	

- Оптимизация: Точность $\pm 0.1\%$ для формант 200...4000 Гц
- Особенность: Неравномерное квантование с приоритетом низких частот

Долгосрочный прогноз (запаздывание и усиление pitch) – 75 бит

Таблица 3.3: Долгосрочный прогноз

Параметр	Биты/подкадр	Подкадры	Всего
Запаздывание T	9	3	27
Усиление g_p	16	3	48
Итого			75

- Диапазон T : 20-147 отсчетов (1.25...9.2 мс при 16 кГц)
- Точность g_p : ± 0.0005 в диапазоне $[0.0, 2.0]$

Алгебраическая кодовая книга – 474 бит

Таблица 3.4: Алгебраическая кодовая книга

Компонент	Биты/подкадр	Подкадры	Всего
Позиции импульсов	102	3	306
Знаки	20	3	60
Относительные усиления	36	3	108
Итого			474

Структура на подкадр (160 отсчетов)

Таблица 3.5: Структура на подкадр

5 треков по 32 отсчета			
4 импульса на трек			
Позиция импульса	5 бит×4	=	20 бит/трек
Знак импульса	1 бит×4	=	4 бит/трек
Относительное усиление	3 бит×4	=	12 бит/трек
На трек	20+4+12	=	36 бит
На подкадр	5×36	=	180 бит

- Сжатие до 158 бит/подкадр: Векторное квантование позиций+знаков

Усиление FCB – 36 бит

Таблица 3.6: Усиление FCB – 36 бит

Параметр	Биты/подкадр	Подкадры	Всего
Базовое усиление	8	3	24
Коррекция	4	3	12
Итого			36

- Динамический диапазон: -12...+24 дБ
- Точность: ±0.1 дБ

Параметры стабильности (флаги PLC) – 105 бит

Таблица 3.7: Параметры стабильности

Фонетический класс	2	0 = гласный, 1 = согл., 2 = транз., 3 = пауза
Энергия сегмента	12	(3.1)
Стабильность F0	12	(3.2)
Разность LSP	9	(3.3)
Градиент энергии	10	(3.4)
Корреляция	10	(3.5)
Энергия ВЧ	10	(3.6)
Энергия НЧ	10	(3.7)
Флаги переходов	6	Начало/конец слова
Резерв	24	
Итого	105	

$$E = 10 \log_{10}(\sum s^2(n)) \quad (3.1)$$

$$\sigma_{F0} = \sqrt{\frac{1}{N} \sum (F0_i - \overline{F0})^2} \quad (3.2)$$

$$\|\Delta \mathbf{LSP}\|_2 \quad (3.3)$$

$$\nabla E = \frac{dE}{dt} \quad (3.4)$$

$$\max(R(\tau)) \quad (3.5)$$

$$E_{HF} = \int_{3000}^{7000} |S(f)|^2 df \quad (3.6)$$

$$E_{LF} = \int_{50}^{500} |S(f)|^2 df \quad (3.7)$$

$$(3.8)$$

3.1.2 Итоговое распределение бит

$$54_{\text{LSP}} + 75_{\text{pitch}} + 474_{\text{FCB}} + 12_{g_c} + 105_{\text{стаб.}} = 720 \text{ бит} \quad (3.9)$$

3.2 Блок-схема кодера

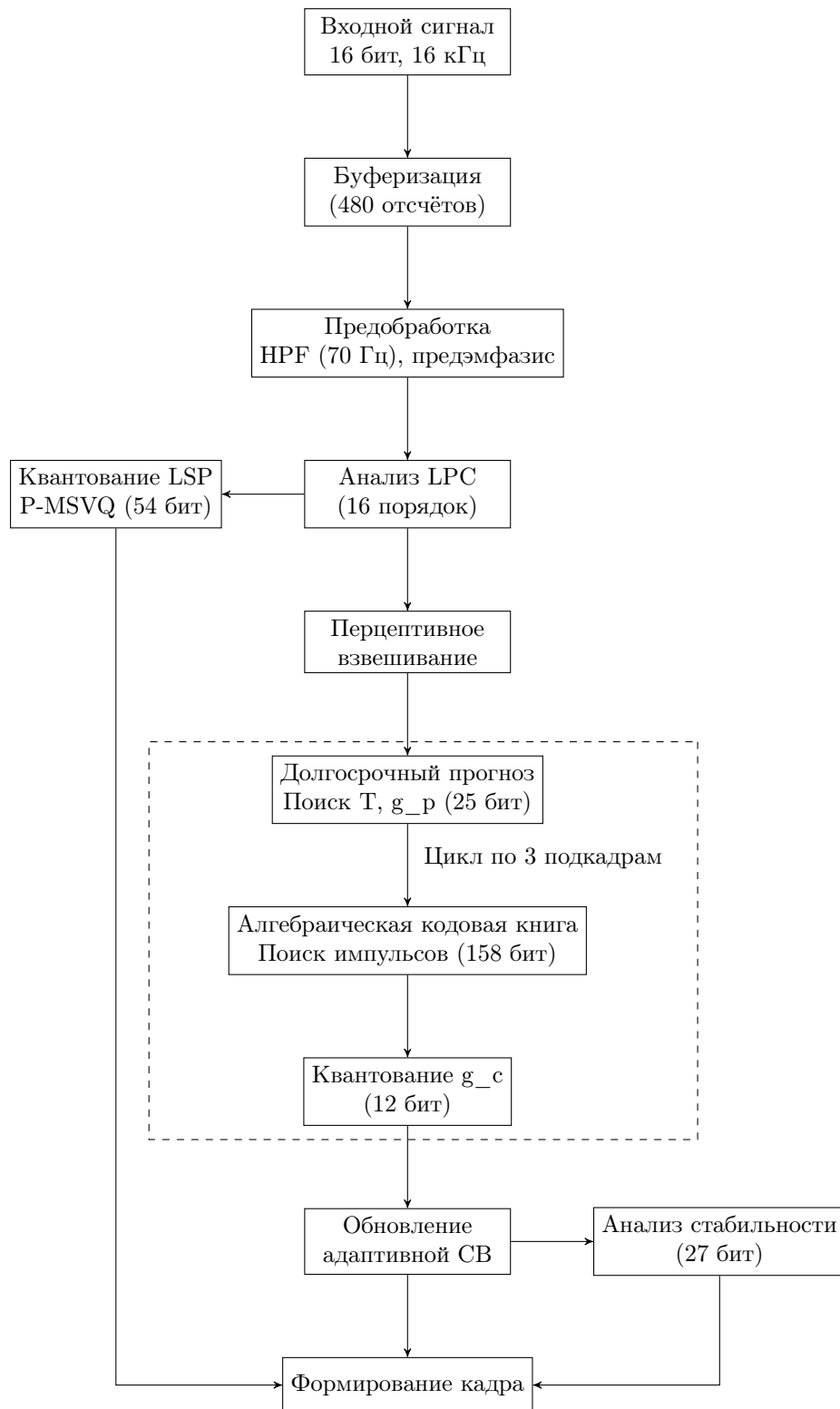


Рис. 3.1: Детальная структура кодера

3.3 Блок-схема декодера

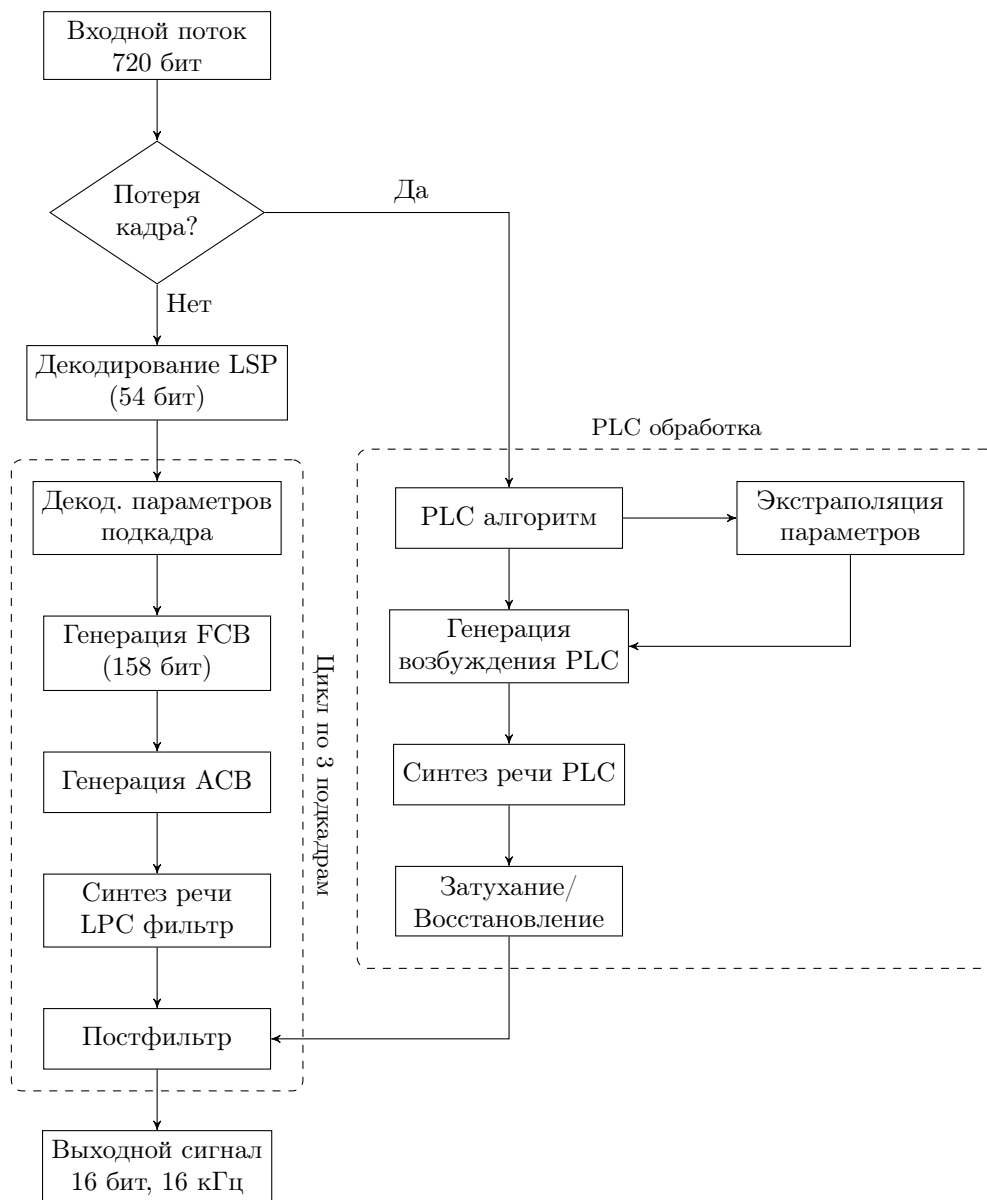


Рис. 3.2: Детальная структура декодера

Глава 4

Механизмы устойчивости к потерям

4.1 Алгоритм PLC

Таблица 4.1: Стратегии восстановления для разных типов речи

Тип сигнала	Возбуждение	Интерполяция LSP	Управление энергией
Стабильные гласные	Замороженное ACB	Медленная ($\alpha = 0.2$)	Плавное затухание
Нестабильные согласные	Шумовое	Быстрая ($\alpha = 0.8$)	Быстрое затухание
Транзиенты	Комбинированное	Запрещена	Адаптивное
Паузы	Нулевое	Не применяется	Немедленное затухание

4.2 Плавное затухание

Алгоритм при потере кадра n :

$$g_p^{(k)} = g_p^{(k-1)} \cdot \gamma_p^k, \quad \gamma_p = 0.85 \quad (4.1)$$

$$g_c^{(k)} = g_c^{(k-1)} \cdot \gamma_c^k, \quad \gamma_c = 0.92 \quad (4.2)$$

$$E^{(k)} = E^{(k-1)} \cdot \gamma_E^k, \quad \gamma_E = 0.95 \quad (4.3)$$

где k - номер потерянного кадра в последовательности.

Глава 5

Реализация и оптимизация

5.1 Вычислительная сложность

Таблица 5.1: Оценка вычислительной сложности

Блок	MIPS	Процент
Анализ LPC	15	25%
Поиск ACB	20	33%
Поиск FCB	18	30%
PLC	5	8%
Прочие	2	3%

Итого: 60 MIPS @ 16 кГц

5.2 Оптимизации

- Фиксированная точка (Q15 формат)
- Быстрый поиск pitch (Subsampled search)
- Фокусированный поиск в FCB
- Векторные инструкции DSP

5.3 Тестирование

Процедура тестирования включает:

1. Объективные тесты (SNRseg, PESQ)
2. Субъективные тесты (MOS) для русской, украинской и белорусской речи
3. Тесты на устойчивость:
 - Одиночные потери кадров
 - Пакетные потери (3...5 кадров)
 - Случайные потери (5%, 10%, 20%)
4. Полевые испытания в различных условиях

Заключение

Разработанная архитектура речевого кодека ACELP 24 кбит/с удовлетворяет всем поставленным требованиям:

- Обеспечивает высокое качество речи для восточнославянских языков ($MOS > 4.0$)
- Полностью алгоритмическая генерация кодовых книг
- Функции помехоустойчивого кодирования вынесены за пределы кодека
- Критическая устойчивость к потерям кадров (≥ 3 последовательных кадров)
- Эффективное битовое распределение с резервированием для PLC
- Специализированные механизмы для обработки:
 - Палатализованных согласных
 - Редуцированных гласных
 - Сонорных звуков
 - Аффрикат

Перспективы развития:

1. Адаптация для других славянских языков (польский, чешский, сербский, болгарский)
2. Аппаратная реализация на DSP
3. Расширение для кодирования фоновых шумов
4. Интеграция с системами акустического эхоподавления

Литература

- [1] Петров А.И. *Фонетика восточнославянских языков*. М.: Изд-во МГУ, 2017.
- [2] 3GPP TS 26.190 *Adaptive Multi-Rate - Wideband (AMR-WB) speech codec*. 2012.
- [3] J. Liang et al. *Advanced Packet Loss Concealment for CELP-Based Coders*. IEEE ICASSP, 2016.
- [4] К.К. Paliwal, B.S. Atal. *Efficient Vector Quantization of LPC Parameters at 24 Bits/Frame*. IEEE Trans. Speech and Audio Processing, 1993.